

【ノート】

## 凹形円曲線開水路（射流）の平均流速

THE MEAN VELOCITY OF THE FLOW IN THE LONGITUDINALLY  
CURVED CHANNEL (SUPERCritical FLOW)

渡部儀三郎\*  
By Gisabro WATANABE

### 1. まえがき

水路床の縦断曲線が凹形円曲線のとき、この水路を凹形円曲線開水路とよぶものとする。

凹形円曲線開水路上の射流について、渡部<sup>1)</sup>が実験的研究により、平均流速公式として次式を提案した（図-1 参照）。

$$\left. \begin{aligned} V_{mi} &= K_i \xi_i \sqrt{2g} \{ E_i \pm S_i - h_i \cos(\theta_i - \varphi) \} \\ &= K_i \xi_i \sqrt{2g} (E_i - h_i \cos \theta_*) \\ &= K_i \xi_i \sqrt{2g H_i} \end{aligned} \right\}$$

.....(1)

この実験は、水路幅を 40 cm、凹形円曲線開水路床の半径を、25 mm, 50 mm, 75 mm, 100 mm, 150 mm とし、1型円曲線開水路 ( $\theta_0 = 69^\circ 45' \sim 74^\circ 30'$ ) および 2型円曲線開水路 ( $\theta_0 = 91^\circ 15' \sim 93^\circ 30'$ ) を使用した。

この実験的研究により、凹形円曲線開水路の始点および終点における平均流速補正係数  $K_i$  ならびに遠心力係数  $\xi_i$  を求めた。

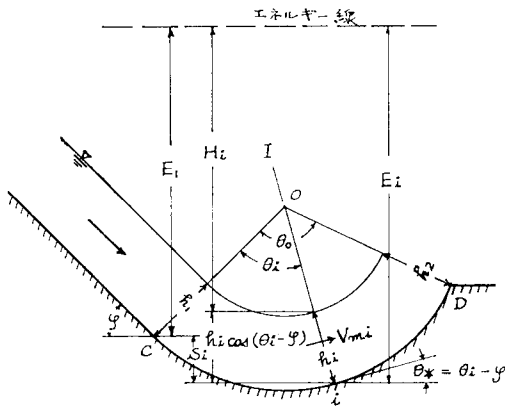


図-1

今回の実験は、凹形円曲線開水路床の半径を  $R=300$  mm とし、中心角  $\theta_0=100^\circ$  および  $\theta_0=115^\circ$ 、水路幅 40 cm の凹形円曲線開水路を使用した。

また、今回の実験は、渡部<sup>1)</sup>の研究と実験方法を一部変更し、凹形円曲線開水路の始点、終点、および円曲線開水路上の中間点 7か所について、流速補正係数  $K_i$  を求めた。この中間点の位置は、図-3において、半径 OC からの中心角が、 $\theta_i=15^\circ, 30^\circ, 45^\circ, 60^\circ, 75^\circ, 90^\circ, 105^\circ$  となる  $i_1$  点～ $i_7$  点をとった。

流量、および凹形円曲線開水路の始点、終点、または中間点の、水路床からエネルギー線までの高さが与えら

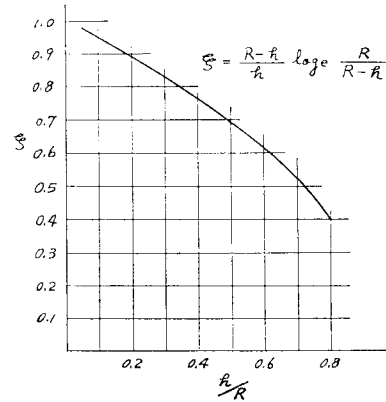


図-2

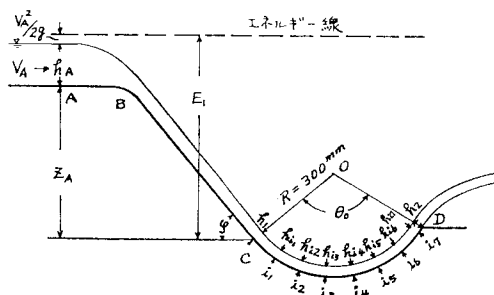


図-3

\* 正会員 高松工業高等専門学校教授 土木工学科

れるときは、本研究および渡部<sup>1)</sup>の研究により、これら の点の水深を仮定して、式(1)により逐次計算を行い、 水深および平均流速を求めることができる。

## 2. 実験

図-3に示すように、斜水路の水平に対する傾斜角(四形円曲線開水路始点における接線の傾斜角)が、 $\varphi=42^{\circ}55'$ 、 $\varphi=50^{\circ}35'$ 、および $\varphi=61^{\circ}35'$ について実験した。

すなわち、 $\varphi=42^{\circ}55'$ 、 $Z_A=38.33\text{ cm}$ 、単位水路幅当たりの流量を $q=398\text{ cm}^3/\text{s}/\text{cm}\sim 1059\text{ cm}^3/\text{s}/\text{cm}$ の9流量について実験し、また、 $\varphi=50^{\circ}35'$ 、 $Z_A=44.33\text{ cm}$ 、 $q=398\text{ cm}^3/\text{s}/\text{cm}\sim 1059\text{ cm}^3/\text{s}/\text{cm}$ の11流量、ならびに $\varphi=61^{\circ}35'$ 、 $Z_A=51.91\text{ cm}$ 、 $q=398\text{ cm}^3/\text{s}/\text{cm}\sim 999\text{ cm}^3/\text{s}/\text{cm}$ の10流量について実験を行った。

### (1) 実験方法

- a) 開水路の流量は、四角せきにより測定した。
- b)  $Z_A$ を測定した(図-3参照)。
- c) 斜水路上流A点の水深を測定した(図-3参照)。
- d) 四形円曲線開水路の始点C点、終点D点、および 中間点 $i_1$ 点～ $i_7$ 点の、半径方向の水深を測定した。すなわち1断面につき3か所の水深を測定し、 その平均水深を用いた(図-3参照)。
- e) 四形円曲線開水路始点C点と、中間点 $i_1$ 点～ $i_7$ 点、および終点D点との、水路床の高さの差 $S_i$ を 测定した(図-1参照)。

### (2) 実験結果

図-3において、A～C間の損失水頭を無視し、次式

が得られる。

$$E_1 = \frac{1}{2g} \left( \frac{q}{h_A} \right)^2 + h_A + Z_A \quad \dots \dots \dots (2)$$

また、四形円曲線開水路上の任意の点の平均流速 $V_{mi}$ は、次式で表される。

$$V_{mi} = q/h_i \quad \dots \dots \dots (3)$$

C点～ $i$ 点間の平均水深を、 $h_0 = (h_i + h_0)/2$ とし、 $h_0/R$ に対応する $i$ 点の遠心力係数 $\xi_i$ を図-2から求められる。

式(2)、(3)より $E_1$ および $V_{mi}$ を求め、また $\xi_i$ および $S_i$ が得られるので、式(1)から $K_i$ を求める ことができる。すなわち、四形円曲線開水路始点C点の $K_1$ 、終点D点の $K_2$ 、および中間点 $i_1$ 点～ $i_7$ 点の $K_{i1}$ ～ $K_{i7}$ を求めた。

$K_1$ 、 $K_2$ 、および $K_{i1}$ ～ $K_{i7}$ と $h_0/R$ の関係をプロットすれば、図-4に示すとおりである。

$K_i$ と $h_0/R$ は直線式で表されるものと仮定し、最小2乗法により、次の実験式を得た。

$$\begin{aligned} \text{始点C点 } K_1 &= 1.028 + 0.313(h_0/R) \\ i_1 \text{ 点 } K_{i1} &= 1.021 + 0.246(h_0/R) \\ i_2 \text{ 点 } K_{i2} &= 1.026 + 0.029(h_0/R) \\ i_3 \text{ 点 } K_{i3} &= 0.997 + 0.246(h_0/R) \\ i_4 \text{ 点 } K_{i4} &= 0.948 + 0.635(h_0/R) \\ i_5 \text{ 点 } K_{i5} &= 0.920 + 0.952(h_0/R) \\ i_6 \text{ 点 } K_{i6} &= 0.873 + 1.465(h_0/R) \\ i_7 \text{ 点 } K_{i7} &= 0.853 + 1.920(h_0/R) \\ \text{終点D点 } K_2 &= 0.865 + 2.182(h_0/R) \end{aligned} \quad \dots \dots \dots (4)$$

式(4)を図示すると、図-4のとおりである。

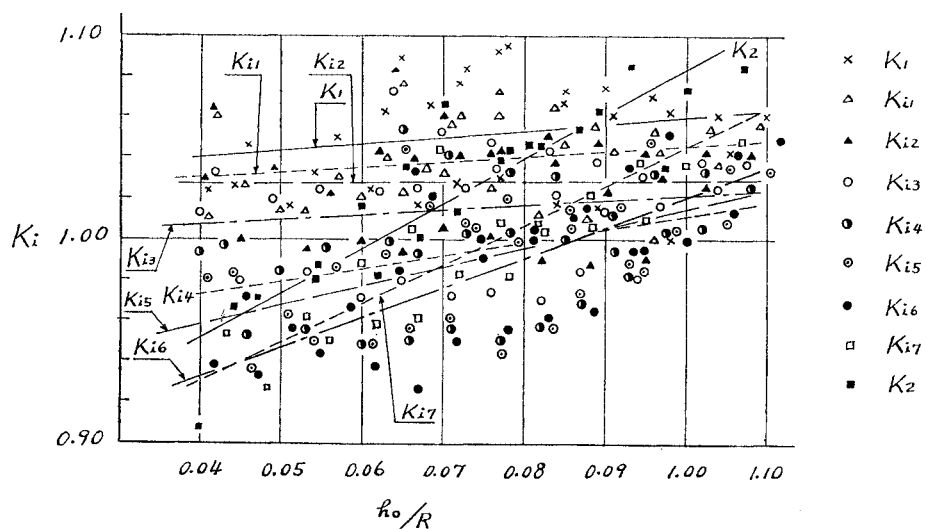


図-4

参考文献

3. むすび

- 1) 渡部儀三郎：凹形円曲面上の射流，土木学会論文報告集，No. 250, 1976.6.

本研究および渡部<sup>1)</sup>の研究により、凹形円曲線開水路の平均流速および水深を求めることができる。

(1979.11.9・受付)